

東京大学工学部 ○学生員 赤松 兴

正員 松尾 友矩

## 1 はじめに

開水路固液混相流の乱れ特性については、これまでにかなりの研究が成されてきているが、渓流固体粒子としては密度の大きいものが主である。本報告は、開水路中立渓流粒子流の乱れ特性の研究の第一歩として、平均粒径 $1.19\text{ mm}$ 、比重 $1.05$ のポリスチロール粒子を浮遊させた水流の乱れ特性について実験的に検討したものである。

## 2 実験方法および水理条件

実験に使用した開水路は長さ $8\text{ m}$ 、幅 $30\text{ cm}$ の塩化ビニル製滑面可傾式循環型水路である。流速計測にはコニカル型プローブ(TSI製1231W)を用いた。実験条件を

表-1に示す。スペクトル解析にあたっては総データ数4096個、サンプリング周波数を清水・流子流についてそれぞれ $1\text{ kHz}$ ,  $2\text{ kHz}$ として下下法により計算した。平滑化には三角形フィルタ( $J=16$ ,  $I=8$ )を用いている。

## 3 結果

(1)乱れ強度 図-1に乱れ強度 $\beta'$ の分布を示す。横

軸は相対水深であり、各水深での $\beta'$ の相対的な大きさが見えるよう無次元化してある。また清水の場合の $\beta'$ のレベルを見定めるために、 $Re=13,900$   $Fr=1.44$ (口)  $Re=5,340$   $Fr=1.32$ (△)の場合も併示した。この図をみると粒子の存在により、乱れ強度は濃度の増加とともに増大することがわかる。また、増加の割合は相対水深 $0.2$ から $0.5$ 付近で特に著しく、壁近傍または水面に近くにつくと小さくなるようである。

(2)エネルギースペクトル 図-2にはほぼ同一水深( $z/h=0.3$ )でのエネルギースペクトルの一例を示す。清水については慣性小領域から粘性小領域まで認められるが、粒子流の場合には、高周波数側の部分が清水の場合とは別の曲線に乗るようになり、傾きが緩くなつて、濃度の増加に伴つて全体のエネルギーレベルが上がる傾向があつて、乱れ強度の增大に対応している。ところで滑面管路粒子渓流では、粒径に対応した波数でスペクトルにピークが表れることが知られているが、本実験では全計測実において明確にピークを見出すことはできなかった。管路の場合、スペクトルのピークが顕著に表められているのは管中心といふ平均流速勾配が零である特殊な部分であり、開水路の場合、管中心に対応する部分が無いために明瞭には表れず、高周波数側で上記のような現象になるものと思われる。清水の曲線から逸脱を始める周波数が、管路でのスペクトルの出現波数に対応するものだと推察される。

(3)エネルギー逸散率 図-3にエネルギー逸散率 $E$ の分布を示す。図中○●○はスペクトルの慣性小領域に相似則、 $E=(2\pi/U)[f^{5/3}P(f)/C]^{3/2}$ (ここで $C=0.5$ とした)を適用して求めたものであり、○●○はマイクロスケール $\lambda$ を、 $\lambda^2=4\pi^2/U^2$ より求め、等方性的仮定より $E=15.2U^3/\lambda^2$ から計算したものである。

表-1 計測水理量

No	水深 h cm	幅水深比 B/h	平均流速 U M <sup>-1</sup> s <sup>-1</sup>	摩擦速度 U <sub>f</sub> cm s <sup>-1</sup>	Re U <sub>f</sub> <sup>4</sup> x 10 <sup>4</sup>	Fr U <sub>f</sub> /h	壁面 濃度 %	記号
1	2.10	14.29	64.6	3.85	1.08	1.42	清水	○
2	2.15	13.15	62.9	3.89	1.12	1.37	1	●
3	2.20	13.16	61.5	3.94	1.12	1.32	4	○

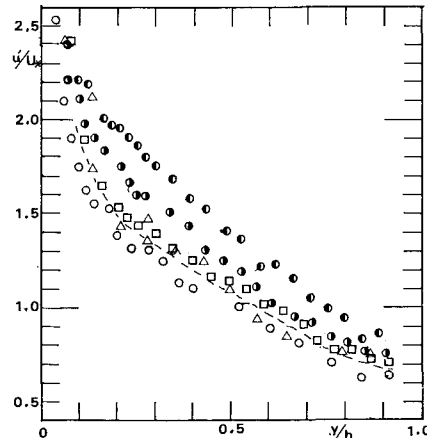


図-1 乱れ強度

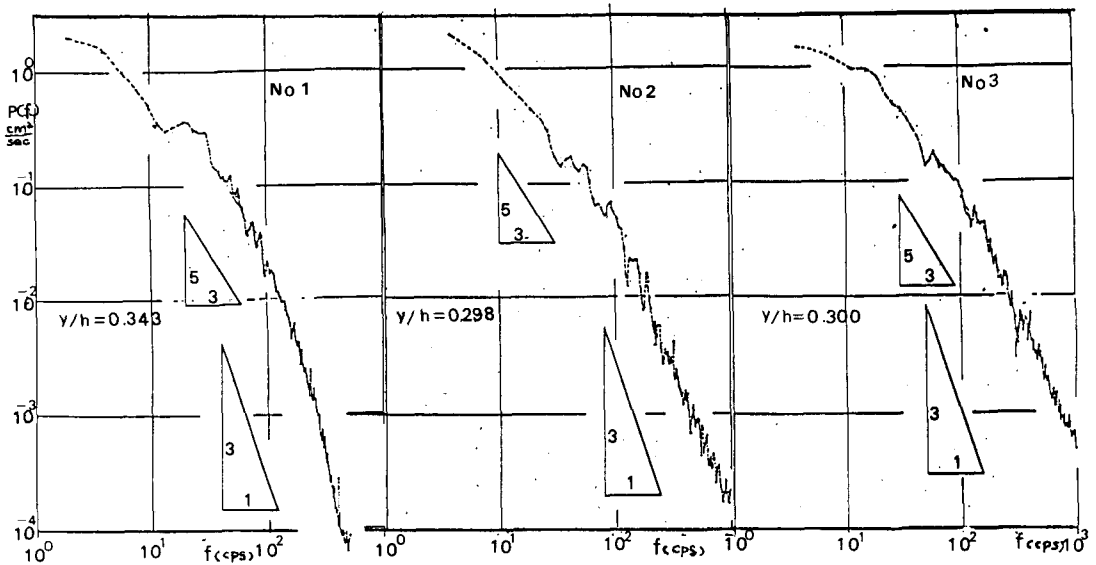


図-2 エネルギースペクトル

〇の中の塗潰しの仕方を表-1の記号のと同じである。清水においては、 $\Sigma$ と $\Sigma'$ は $\lambda/h > 0.4$ の領域ではほぼ一致し、壁面近くでは $\Sigma'$ の値は $\Sigma$ に比べて過小評価され、中立層の結果とよく合っている。それに対して粒子流の場合の水深全体にわたり $\Sigma'$ の方が著しく大きめに評価されている。 $\Sigma'$ は $P(f)$ に $f^2$ の重みがかかる評価法であり、高周波数側に重きを置いたものであるから、スペクトル形状にみられるような粒子の高周波数領域に対する影響を直捷反映したものと思われる。しかし、いずれの評価方法を使っても清水に比べ粒子流の方がエネルギー遮蔽率は増加し、粒子濃度が高い程大きくなる傾向にある。また $\Sigma'$ にスペクトル相関則から求めた $\Sigma$ は、乱れ強度に対応して水面に近づくにつれ清水の場合のものに近づくようである。最後に図-4にマイクロスケールの分布を示す。清水の場合、ほぼ $1/3$ 乗則に従って水面に近づくにつれ増大してゆき、従来の結果と一致しているのに対し、粒子流の場合濃度が高い程度は減少し、しかもその値は全水深にわたって一定であり、壁面からの距離の影響を受けていないことが認められる。

#### 4 おわりに

本実験では、粒子流においては、乱れ強度が増大し、エネルギー遮蔽率は増加することが認められた。また粒子の影響はスペクトルの高周波数側に特に影響をあらわすことが認められ、マイクロスケールに関するところでは濃度の増加とともに縮小し、その大きさは壁面からの距離によらないことが認められた。

#### 参考文献

- 1)九石国男,光易恒:九大応用力学研究報告,第37号 pp.77~104 (1973)
- 2)三村作男,松尾友矩:土木学会論文叢書集,第284号 pp.49~58 (1979)
- 3)中川博次,森野家久,鴻沢長雄:土木学会第30回年譲,pp.402~403 (1975)

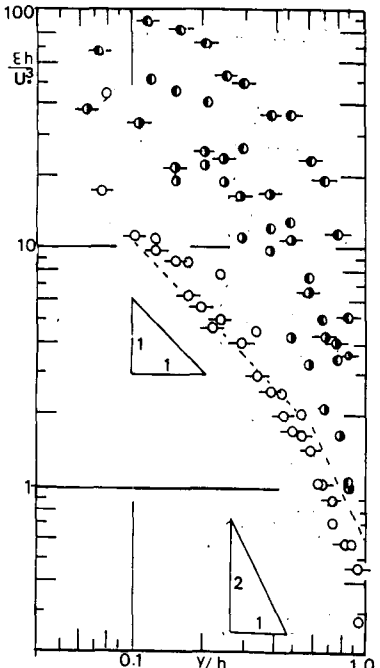


図-3 エネルギー遮蔽率

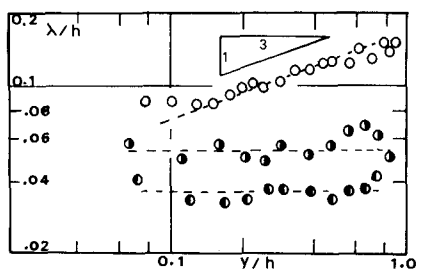


図-4 マイクロ・スケール